



## تأثير إضافة الألومينا على قيم الصلادة ومقاومة البلي لسيكة Mg-Al

عقيل علي العطار/جامعة التكنولوجيا  
(استلم بتاريخ ٢٠١٠/٣/٣ ; قبل بتاريخ ٢٠١٠/١٢/٢٨)

### الخلاصة:

تعتبر سبائك المغنيسيوم - المنيوم من السبائك ذات التطبيقات الهندسية الواسعة وخصوصاً سبيكة Mg-6Al ولكن هذه السبائك تعاني من ضعف مقاومة البلي وذات صلادة منخفضة، لذلك تم اللجوء إلى إضافة بعض المواد إلى هذه السبيكة لزيادة الصلادة ومقاومة البلي ومن هذه المواد هي الألومينا.

وفي هذا البحث نعمل على تحضير سبيكة Mg-6Al كسبائك أساسية، ثم نحاول إعادة سبك هذه السبيكة وإضافة الألومينا إليها، وأجريت هذه العملية باستخدام فرن كهربائي وفي وسط حاوي على غاز خامل (Argon) لحماية السبيكة من التأكسد أثناء عملية الصهر.

ونسلط الضوء على تأثير إضافة الألومينا وبنسبة إضافة مختلفة (3%-4%-5%) على الصلادة ومقاومة البلي لسيكة Mg-6Al وكذلك على التركيب المجهرى للسيكة.

وتبين من خلال إجراء فحوص التركيب المجهرى، الصلادة، مقاومة البلي وحيود الأشعة السينية، أنه بزيادة نسبة إضافة الألومينا إلى السيكة تزداد مقاومة البلي وكذلك تزداد الصلادة، ويعود هذا التأثير نتيجة إلى ترسب الألومينا على الحدود البلورية لطور  $\alpha$ -Mg<sub>17</sub>-Al<sub>12</sub>- $\beta$ -Mg<sub>2</sub>O<sub>3</sub> وكذلك ترسبها في أرضية السيكة (طور  $\alpha$ -Mg).

### Abstract:

Magnesium-Aluminum alloys considered specially Mg-6Al very important alloys in engineering applications, but this alloys have weakly wear resistance and low hardness, therefore, addition some materials such as ( $\text{Al}_2\text{O}_3$ ) at (3%-4%-5%) weight percentage to improve the hardness and wear resistance.

In this present research Mg-6Al was prepare as a master alloy then recast this alloy after adding ( $\text{Al}_2\text{O}_3$ ) under argon gas in electrical furnace, then study the effect of this addition on the hardness and wear resistance of the master alloy.

**Key words:** Mg alloys, mechanical properties of Mg-Al alloy, wear resistance.

## المقدمة : *Introduction*

تعتبر سبائك المغنيسيوم Magnesium من أهم سبائك المواد ذات التراكيب الخفيفة الوزن والتي تستخدم في صناعة السيارات والطائرات .....والخ من الصناعات التي تعتمد على خفة الوزن في تطبيقاتها.[1,2] ولكن لسبائك المغنيسيوم Magnesium Alloys محددات كثيرة وخصوصاً مقاومة البلي (Wear Resistance) والتي تكون بصورة عامة منخفضة.[1,3] حيث يعزى إنخفاض الصلادة ومقاومة البلي وكذلك المتانة للمغنيسيوم النقى وللسبائك التجارية Mg-Al-Mn and Mg Al-Zn systems (AM and AZ alloys respectively).  
السبائك نتيجة إلى طبيعة الأطوار المتكونة بين المغنيسيوم والالمنيوم والتي تؤدي إلى إنخفاض الخواص الميكانيكية مكائن السيارات والطائرات والتي تعاني من إنخفاض مقاومة البلي والصلادة والتي تعود إلى وجود مركب Mn17-Al12 الغير المستقر ضمن أرضية المغنيسيوم والذي يحوي على نسبة عالية من الالمنيوم والذي تكون درجة حرارة إنصهاره منخفضة بحدود (458 °C) لذلك يعتبر هذا المركب منخفض الاستقرارية المعدنية والذي يؤدي إلى إنخفاض مقاومة البلي.[5,6] أن تكون هذا الطور الغير مستقر في سبيكة Mg-Al سيؤدي إلى مضاعفة مساحة الحدود البلورية والتي ستؤدي إلى زيادة البلي.[3,7] حيث لوحظ أنه بزيادة الحدود البلورية الأنلاقية والتي تحدث وتزداد بزيادة الطور الغير المستقر ضمن أرضية Mg-Al سوف يزداد التشوه نتيجة البلي.[8,9] ولهذا فإنه لا تكون كل سبائك المغنيسيوم متطابقة بشكل كامل، فإن ميكانيكية البلي تصبح أكثر تعقيداً في سبائك المغنيسيوم وذلك بسبب تكون الأطوار الثانوية خصوصاً عند معدلات التجمد العالية [10] (مثل السباكة المعدنية Die Casting) وعندما تكون عناصر السبك موجودة بشكل فوق الأشباع في الأرضية.[9,11] ونتيجة لذلك سوف تكون الأطوار المستقرة هي الموجودة والغالبة حتى الوصول إلى درجة حرارة الغرفة.[1,10] بالرغم من ذلك فإنه لا يمكن ان ينسب الترسيب الحاصل الى عملية التخفيض للسبائك عند درجة حرارة الغرفة. لذلك تم اللجوء إلى إضافة بعض المواد المحسنة ومنها مسحوق الألومينا  $\text{Al}_2\text{O}_3$  Powder إلى سبيكة Mg-6Al تكون أطوار متربطة أخرى لها مقاومة بلى أعلى من الطور الغير مستقر (Mn17-Al12) ومنها الطور  $\alpha\text{-Mg}$

والذي يبقى مستقراً لغاية  $1085^{\circ}\text{C}$  وهذه السبائك تستخدم في تطبيقات الاتصالات وصناعة السيارات. ولكن لهذه السبائك عيب مهم وهو قلة القدرة على التسبيك ولذلك تحتاج إلى إضافة مواد أخرى إلى السبيكة لتحسين قدرة التسبيك لذلك سيتم إضافة الزنك لزيادة قدرة التسبيك لهذا سبائك.<sup>[7.11]</sup> وفي هذا البحث سوف نتطرق إلى تأثير إضافة الألومنيوم على التركيب المجهري الصلاحة ومقاومة البلي لسبائك Mg-Al (AZ63A) عند درجة حرارة الغرفة.<sup>[12]</sup>

### الجزء العملي: Experimental

تمأخذ المغنيسيوم التجاري النقي بنقاوة (٩٩.٩٥) مع الألمنيوم النقي (٩٩.٩٩) وتم وضع المغنيسيوم مع الألمنيوم (بنسبة ٦٪ من نسبة المغنيسيوم) في بودقة كرافيتية سعة ٢٥٠ غم ووضعت البوقدة الكرافيتية في حاوية Container ذات فتحتين علوية لخروج غاز الأكسجين وسفلية لدخول غاز الأركون Argon كما في الشكل (١) ووضعت الحاوية في فرن كهربائي محلي الصنع شكل (٢) مربوط إلى متحسس حراري Thermocouple "K" type وقارئ رقمي لدرجات الحرارة Reader وسخن الفرن لغاية  $250^{\circ}\text{C}$  عندما تم ضخ غاز الأركون لمنع تأكسد المغنيسيوم وبعدها تم رفع درجة حرارة الفرن لغاية  $250^{\circ}\text{C}$  وتركت الحاوية عند هذه الدرجة لمدة ربع ساعة مع الخلط الجيد Stir للسبائك لضمان التجانس Homogeneous في تركيب السبيكة الناتجة. وبعدها تم إطفاء الفرن وتبريد السبيكة في الفرن حتى تم الوصول إلى درجة حرارة  $250^{\circ}\text{C}$  حيث تم قطع ضخ غاز الأركون عن الحاوية وتم إنتظار وصول السبيكة إلى درجة حرارة الغرفة وتم تقطيع السبيكة.

وبعدها تم إضافة مسحوق الألومنيا ( $\text{Al}_2\text{O}_3$ ) (حجم حبيبي أقل من  $25\mu\text{m}$ ) إلى سبيكة Mg-6Al وحسب النسب (3%, 4%, 5%) والتي تكون مغلفة برقائق الألمنيوم Aluminum Foil وتوضع كلها في البوقدة داخل الحاوية في الفرن وتكرر عملية السبك السابقة مرة أخرى، حيث وضعت سبيكة مغنيسيوم-المنيوم مع رقائق الألمنيوم الحاوية على مسحوق الألومنيا وسخن الفرن لغاية  $250^{\circ}\text{C}$  وبعدها تم ضخ غاز الأركون واستمر التسخين لغاية  $750^{\circ}\text{C}$  وثبتت درجة الحرارة وتمت عملية الخلط اليدوي لمدة نصف ساعة لضمان التوزيع المتجانس لحبوب مسحوق ( $\text{Al}_2\text{O}_3$ ) في تركيب السبيكة.

بعدها تم تبريد السبيكة في الفرن حتى تم الوصول الى درجة حرارة  $250^{\circ}\text{C}$  حيث تم قطع ضخ غاز الأركون عن الحاوية وتم إنتظار وصول السبيكة الى درجة حرارة الغرفة ومن ثم أخرجت المسبوكة من الفرن وتم تقطيعها الى عينات وتم إجراء تحضير العينات لأجراء فحص التركيب المجهرى وفحص الأشعة السينية بقطيع العينات على شكل أقراص بأبعاد ( قطر  $20\text{ mm}$ ، سمك  $10\text{ mm}$  ) وأجريت عملية التعيم والصلقل ومن ثم تم إجراء الأظهار بغير العينات المصقوله في محلول كلايكول ( $\text{HNO}_3+\text{Eth.}$ ) لمندة  $30\text{ sec}$  وبعدها تم فحص العينات بالمجهر الضوئي نوع Olympus Vickers (3) وكذلك فحص الأشعة السينية X-Ray Diffraction. تم إجراء فحص صلادة فيكرز المايكروية ( بالشكل (4) باستخدام جهاز صيني الصنع وباستخدام نقل بمقدار (2.9gr) والمبيين بالشكل (4).

أما بالنسبة الى البلي فقد تم إجراء فحص مقاومة البلي باستخدام جهاز بلی محلي الصنع وتم تقطيع وتحضير العينات الواجب فحصها على شكل أقراص بأبعاد ( قطر  $10\text{mm}$ ، سمك  $3\text{mm}$  ) وكانت سرعة الجهاز أثناء الفحص ( 1500 وتحت حمل (10 Kg) ولمدة (20 min) وكان نصف قطر القرص (9Cm) وتم حساب البلي حسب المعادلة الآتية:[6]

$$K_c = \frac{\Delta m}{\rho_c \cdot V_s \cdot T} = \frac{m_1 - m_2}{\rho_c \cdot V_s \cdot T}$$

حيث أن:

$$\mathbf{K}_c = \text{معدل البلي للمواد المتراكبة } (\text{mm}^3/\text{mm})$$

$$\Delta \mathbf{m} = \text{الفقدان بالوزن (g)}.$$

$$\rho_c = \text{كثافة العينة } (\text{g/mm}^3).$$

$$V_s = \text{سرعة الانزلاق (mm/s)}.$$

$$T = \text{زمن الانزلاق (s)}.$$

## النتائج والمناقشة: Results and Discussion

جدول (١) يبين التركيب الكيميائي Chemical Composition للعينات بعد إتمام عملية الصب، وكما يظهر من التركيب المجهري للعينات أشكال (5,6,7,8) وجود الطور  $\alpha\text{-Mg}$  وطور بوتكتك  $\beta\text{-Mg}_{17}\text{-Al}_{12}$  وكذلك طور  $\beta\text{-Mg}_{17}\text{-Al}_{12}$  المترسب. أن استقرارية الألومنينا ضعيف في طور  $\alpha\text{-Mg}$  حيث تجمع الألومنينا في طور  $\beta\text{-Mg}_{17}\text{-Al}_{12}$  خلال التجمد. وبالمقارنة مع سبيكة  $\text{Mg}-6\text{Al}$  الأولية، حيث أن إضافة الألومنينا إلى هذه السبيكة يقلل من قابلية ذوبان الالمنيوم في طور  $\beta\text{-Mg}_{17}\text{-Al}_{12}$  [2,4,13,14]. أما بعد إضافة الألومنينا سوف يتربّس الطور  $\beta\text{-Mg}_{17}\text{-Al}_{12}$  إضافة إلى تكون الطور  $\beta\text{-Mg}_{17}\text{-Al}_{12}$  الحاوي على دقائق الألومنينا المترسبة داخل الطور، وسوف تترسب الألومنينا بنفس الوقت مع تكون أذرع شجيرية من طور  $\alpha\text{-Mg}$  في المرحلة الأولى من التجمد. ولهذا يعزى وجود مترسبات الألومنينا في أذرع شجيرية طور  $\alpha\text{-Mg}$  الداخلية، لذلك يكون ترابط الألومنينا المترسبة في بداية عملية التجمد قوي مع بنية السبيكة، وبناءً على ذلك ستكون نسبة قليلة من الالمنيوم ستدفع بإتجاه تكون طور الأنصهاري  $\beta\text{-Mg}_{17}\text{-Al}_{12}$  [15,16] ومن خلال فحص الصلادة بجهاز فحص صلادة فيكرز المايكروية والموضحة نتائجه بالجدول (٢) والشكل (٩) يتبيّن زيادة في الصلادة مع زيادة نسبة إضافة الألومنينا إلى سبيكة  $\text{Mg}-6\text{Al}$ ، ويرجع السبب في ذلك إلى نقصان ترسب طور  $\beta\text{-Mg}_{17}\text{-Al}_{12}$  وكذلك إلى ترسب الألومنينا على الحدود البلورية لطور  $\beta\text{-Mg}_{17}\text{-Al}_{12}$  المترسب خلال عملية الصب. حيث تدفع حبيبات الألومنينا المترسبة إلى زيادة صلادة الحدود البلورية للأطوار المتكونة والمترسبة خلال عملية التجمد للسبيكة الحاوية على حبيبات الألومنينا وتزداد هذه الحبيبات بالترسب لغاية نسبة إضافة ١٢.١٧%. نفس الحال يكون بالنسبة إلى مقاومة البلي حيث يوضح الجدول (٣) والشكل (١٠) قراءات الفحص للعينات ويبين أن مقاومة البلي تزداد مع زيادة نسبة إضافة لمحشوّق الألومنينا ويرجع السبب في ذلك إلى ترسب حبيبات الألومنينا على الحدود البلورية وفي الأطوار المترسبة للسبيكة أثناء عملية التجمد. [5.7.9.18]

## الاستنتاجات: Conclusions

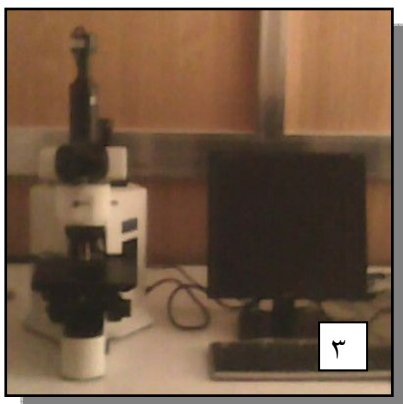
- ١- ظهور حبيبات الألومنينا المترسبة في الطورين  $\beta\text{-Mg}_{17}\text{-Al}_{12}$  و  $\alpha\text{-Mg}$  بزداد بزيادة نسبة إضافة الألومنينا، وهذا يقلل من نسبة ترسب الطور  $\beta\text{-Mg}_{17}\text{-Al}_{12}$  الهش.
- ٢- بزيادة نسبة ترسب حبيبات الألومنينا تزداد صلادة فيكرز المايكروية للمسبوّكات.

٣- بزيادة نسبة ترسب حبيبات الألومنيا تزداد مقاومة البلى للمسبوكات والذي يعود الى نقصان ترسب الطور  $Mg_{17}\text{-Al}_{12}$  الهش لحساب حبيبات الألومنيا الصلدة والقوية.

## المصادر References

1. L.-Y. Wei: “The Fine Structure of Mg K-Edge in Die Cast Mg-AlBase Alloys and the Precipitation in a Cast Mg-Rare Earth Alloy,” Final Report, AMTT, Austrian Research Centers, Seibersdorf, 2001.
2. F. Cus, U. Zuperl, V. Gecevska, High speed milling of light metals, Journal of Achievements in Materials and Manufacturing Engineering 24/1 (2007) 357-364.
3. M.O. Pekguleryuz: *Development of Creep Resistant Magnesium Diecasting Alloys—An Overview*, Noranda Technology Center, Montreal, Quebec, Canada, 2001.
4. M.O. Pekguleryuz and J. Renaud: in *2000 Magnesium Technology*, H. Kaplan, J. Hryn, and B. Clow, eds., TMS, Warrendale, PA, 2000, pp. 279-84.
5. M.S. Dargusch, G.L. Dunlop, and K. Pettersen: *Proc. Conf. on Magnesium Alloys and Their Applications*, Werkstoff-Informationsgesellschaft mbH, Wolfsburg, Germany, 1998, pp. 77-82.
6. J.H. Soko, Mechanical properties of Mg alloys, Journal of Achievements in Materials, 2008.
7. W.K. Miller: in *Advances in Magnesium Alloys and Composites*, H. Paris and W.H. Hunt, eds., TMS, Warrendale, PA, 1988, pp. 41-55.
8. B. Bronfin, E. Aghion, F. von Buch, S. Schuman, and H. Friedrich: *Proc. Conf. on Magnesium Alloys and Their Application*, K.U. Kainer, Wolfsburg, Germany, 2003, pp. 55-61.
9. P. Labelle, M. Pekgularyuz, D. Argo, and M. Lefebvre: *Temperature Behaviour of AJ52X, Heat Resistant Magnesium Alloy for Power-Train Application*, Noranda Technology Center, Montreal, Quebec, Canada.
10. W. Blum, Y.J. Li, X.H. Zeng, B. von Gromann, C. Haberling, and H.G. Haldenwanger: *Proc. Conf. on Magnesium Alloys and Their Application*, K.U. Kainer, Wolfsburg, Germany, 2003, pp. 62-67.

11. A. Bahrami, H.R. Madaah Hussein, P. Abacji, S. Miraghaei, Structural and soft electric properties of Mg-Al alloy Powders prepared by mechanical alloying, Materials Letters 60 (2006) 1068-1070. 5
12. M.O. Pekguleryuz: *Proc. Conf. on Magnesium Alloys and Their Application*, K.U. Kainer, Wolfsburg, Germany, 2003, pp. 74-93.
13. W. Huanga, Ch. Dua, Z. Li, M. Liu, W. Liu, Tribological characteristics of magnesium alloy using N-containing compounds as lubricating additives during sliding, Wear 260 (2006) 140-148.
14. K. Ishikawa, H. Watanabea, T. Mukaib, High strain rate deformation behavior of an AZ91 magnesium alloy at elevated temperatures, Materials Letters 59 (2005) 15111515.
15. K . I w a n a g a, H . T a s h i r o , H. Okamoto, K. Shimizu, Improvement of formability from room temperature to warm temperature in AZ31 magnesium alloy, Journal of Materials Processing Technology 155-156 (2004) 1313-1316.
16. K.U. Kainer, Magnesium – A lloys and Technology, WileyVH, Weinheim, Germany, 2003.
17. A. Kie, Mg-Al light weight materials noranda Technology Center, Montreal, Quebec, Canada, 2006.
18. J. Szajnar, T. Wrbel, Inoculation of aluminum with titanium and boron addition, Journal of Achievements in Materials and Manufacturing Engineering 23/1 (2007) 51-54.



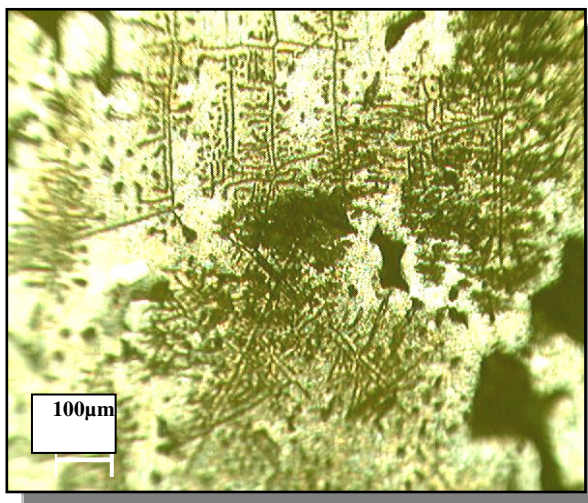
شكل (١): يبين الحاوية التي وضعت بها البودقة      شكل (٣): يبين المجهر الضوئي

شكل (٢): يبين الفرن الكهربائي المحمي

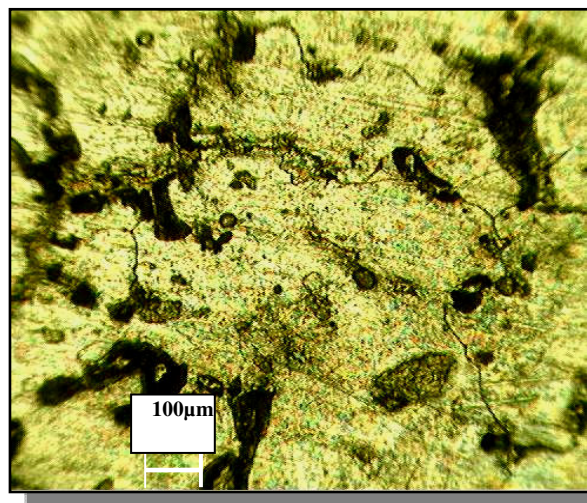
شكل (٤): يبين جهاز فحص الصالحة

جدول (١): يبين التركيب الكيميائي لسمينة .AZ63A

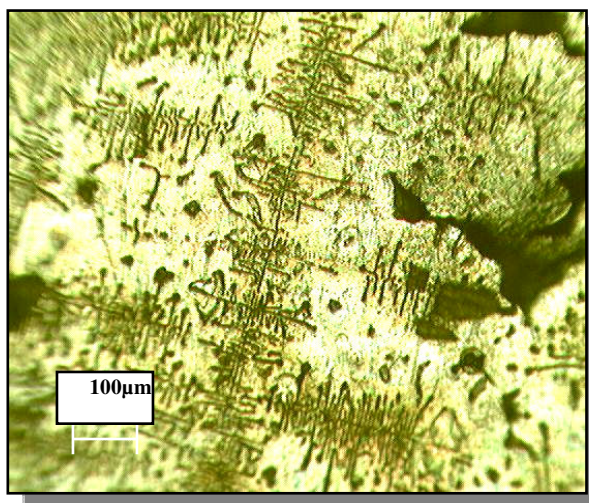
Mg Alloy	Al wt. %	Mn wt. %	Zn wt. %	Others wt. %
AZ63A	6.0	0.2	3.0	0.13



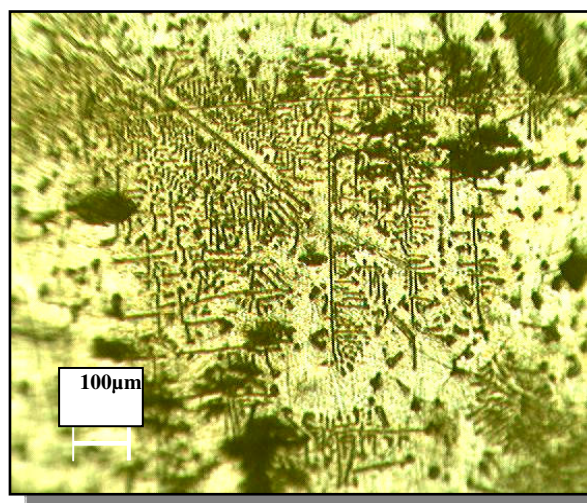
شكل (٦): يبين التركيب المجهرى لسيكة-  
 $Mg-6Al-3Al_2O_3$

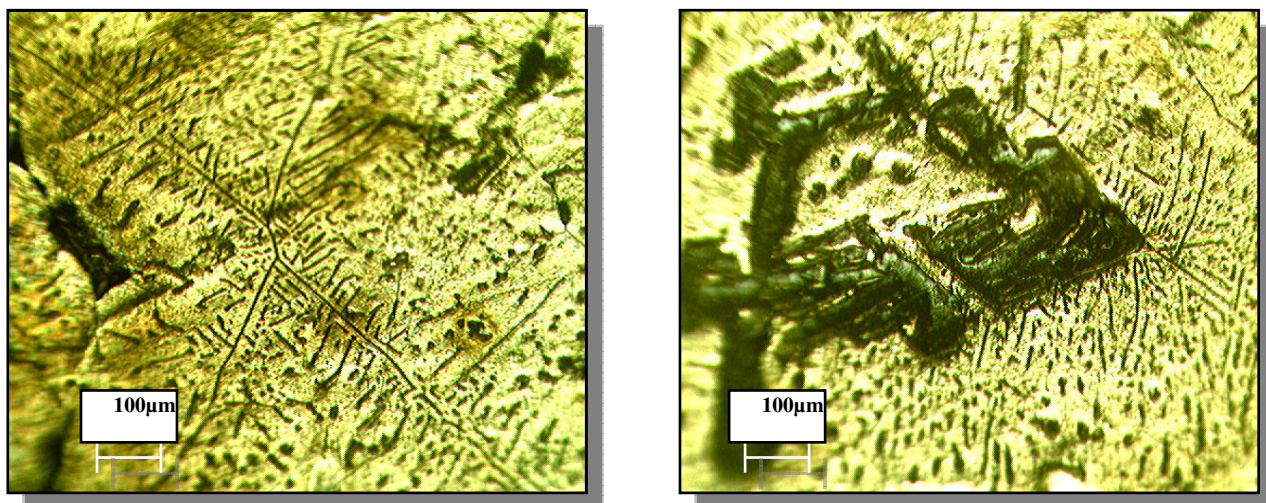


شكل (٥): يبين التركيب المجهرى لسيكة-

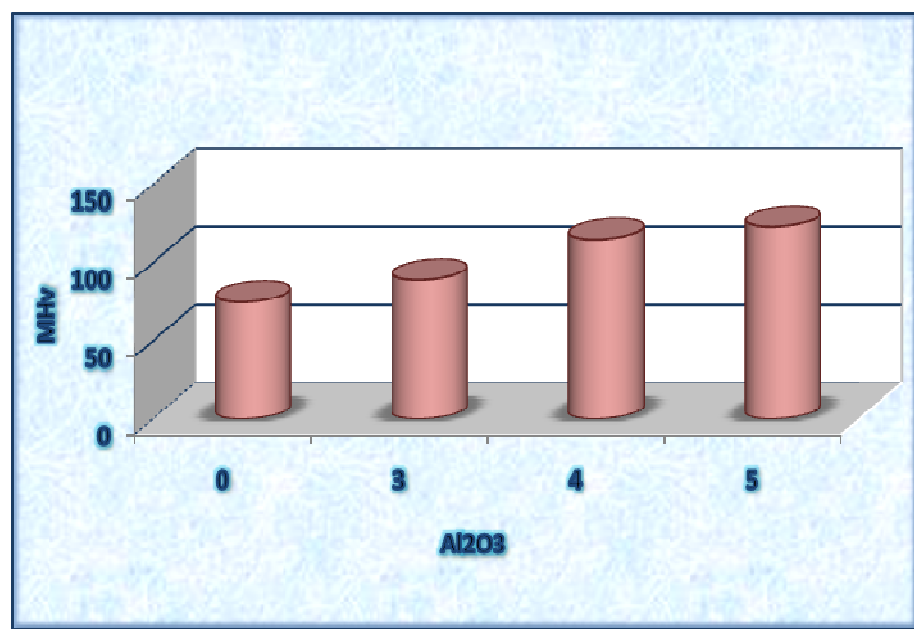


شكل (٧): يبين التركيب المجهرى لسيكة-  
 $Mg-6Al-4Al_2O_3$

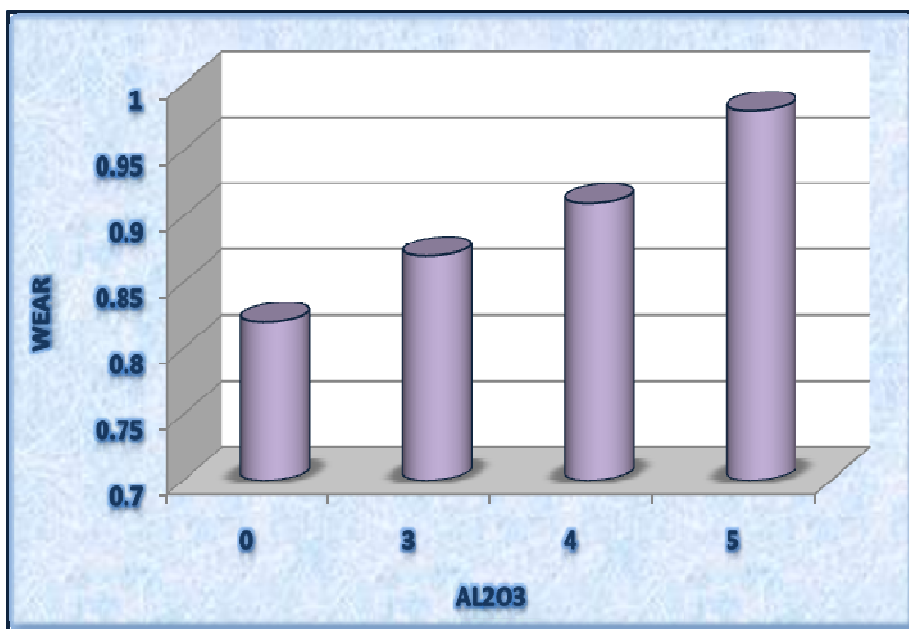




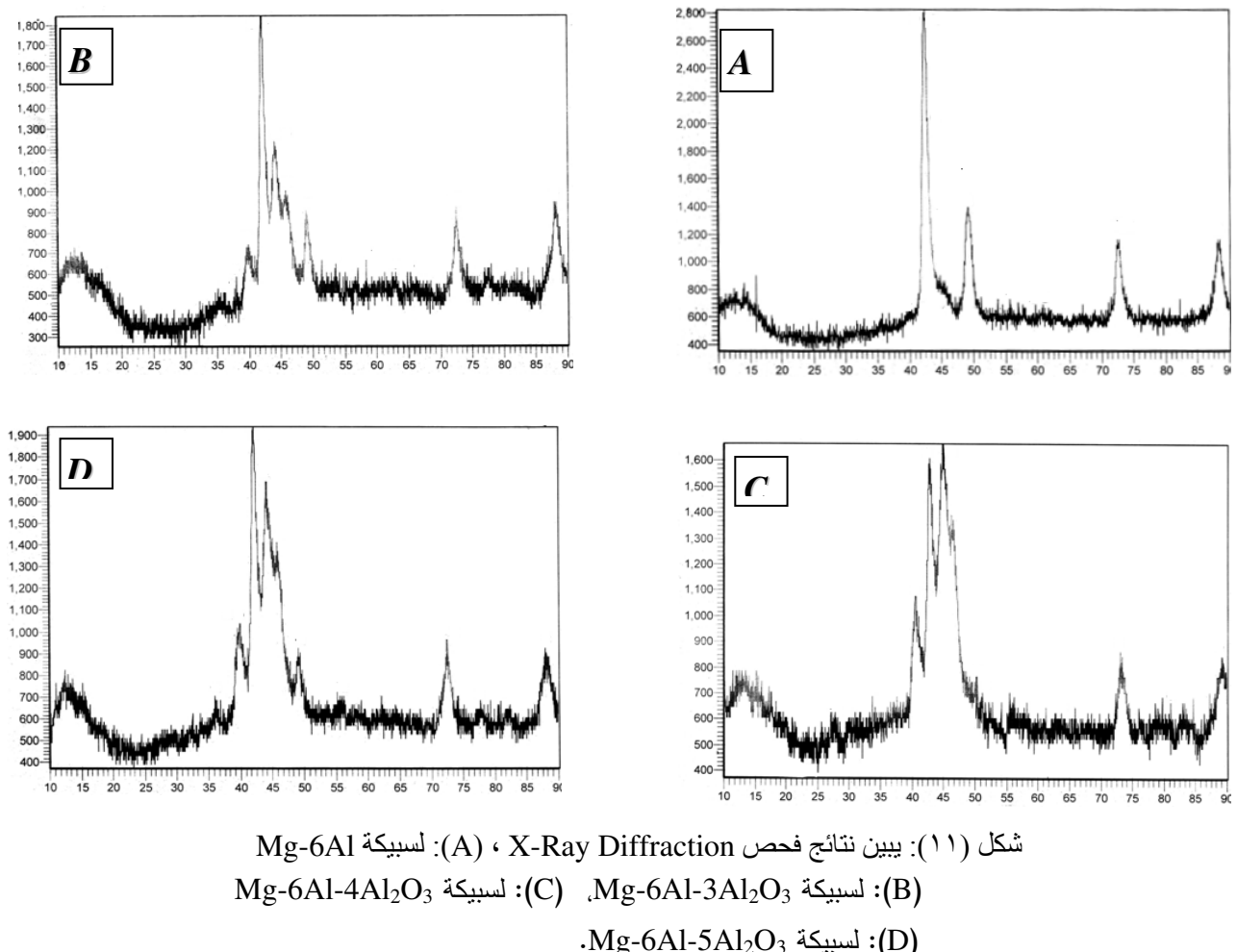
شكل (٨) : يبين التركيب المجهرى لسبائك  $Mg-6Al-5Al_2O_3$



شكل (٩) : يبين تأثير إضافة الألومينا على معدل الصلادة سبيكة  $Mg-6Al$



شكل (١٠): يبين تأثير إضافة الألومنيا على معدل البلى سبيكة Mg-6Al



شكل (١١): يبين نتائج فحص X-Ray لسببيكة Mg-6Al (A) ، Mg-6Al-4Al<sub>2</sub>O<sub>3</sub> (B) ، Mg-6Al-3Al<sub>2</sub>O<sub>3</sub> (C) ، Mg-6Al-5Al<sub>2</sub>O<sub>3</sub> (D)